

# § 4.6 系统函数的零极点分布 与频率响应



p2~15讨论学习:

由拉普拉斯变换直接获得相应函数傅立叶变换的方法

## 4.6.1 $H(\omega)$ 与 $H(s)$ 的关系

若 $h(t)$ 为因果信号，则 $h(t)$ 的傅里叶变换 $H(\omega)$ 和单边拉普拉斯变换 $H(s)$ 分别为

$$H(\omega) = \int_{-\infty}^{\infty} h(t) e^{-j\omega t} dt = \int_{0-}^{\infty} h(t) e^{-j\omega t} dt$$

$$H(s) = \int_{0-}^{\infty} h(t) e^{-st} dt \quad \text{Re}[s] > \sigma_0$$

由于 $s = \sigma + j\omega$ ，因此，若能使 $\sigma = \text{Re}[s] = 0$ ，则 $H(s)$ 就等于 $H(\omega)$ 。但是，能否使 $\sigma$ 等于零，这取决于 $H(s)$ 的收敛域。

$H(s)$ 的收敛域为 $\text{Re}[s] > \sigma_0$ ， $\sigma_0$ 为实数，称为收敛坐标。 $\sigma_0$ 可能小于零，可能等于零，也可能大于零。

## 1、拉氏变换收敛域包含 $j\omega$ 轴(虚轴) $\sigma_0 < 0$

如果 $\sigma_0 < 0$ ，则 $H(s)$ 的收敛域包含 $j\omega$ 轴(虚轴)， $H(s)$ 在 $j\omega$ 轴上收敛。若令 $\sigma=0$ ，即令 $s=j\omega$ ，则 $H(s)$ 存在。这时， $h(t)$ 的傅里叶变换存在，并且令 $s=j\omega$ ，则 $H(s)$ 等于 $H(j\omega)$ 。即

$$H(\omega) = H(s) \Big|_{s=j\omega}$$

例如， $h(t) = e^{-2(t-1)} \varepsilon(t-1)$ ，其单边拉普拉斯变换为

$$H(s) = \frac{e^{-s}}{s+2} \quad \text{Re}[s] > -2$$

$h(t)$  的傅里叶变换为

$$H(\omega) = H(s) \Big|_{s=j\omega} = \frac{e^{-j\omega}}{j\omega + 2}$$

例 已知  $f(t)=e^{-2t}\cos t \cdot \varepsilon(t)$  的单边拉氏变换为

$$F(s) = \frac{s+2}{(s+2)^2+1} \quad \text{Re}[s] > -2$$

求  $f(t)$  傅里叶变换  $F(\omega)$ .

解  $F(s)$  的收敛坐标  $\sigma_0 = -2$  , 即  $\sigma_0 < 0$  。因此

$$F(\omega) = \frac{j\omega+2}{(j\omega+2)^2+1}$$

另一方面，根据傅里叶变换的调制定理或时域相乘性质，由于

$$F[e^{-2t}\varepsilon(t)] = \frac{1}{j\omega + 2}$$

所以有

$$\begin{aligned} F(\omega) &= F[e^{-2t}\varepsilon(t)\cos t] \\ &= \frac{1}{2} \left[ \frac{1}{j(\omega + 1) + 2} + \frac{1}{j(\omega - 1) + 2} \right] = \frac{j\omega + 2}{(j\omega + 2)^2 + 1} \end{aligned}$$

思考：某系统的系统函数为  $H(s)$ ，若同时存在频响函数  $H(j\omega)$ ，则该系统必须满足条件（ ）

- A．时不变系统
- B．因果系统
- C．稳定系统
- D．线性系统

结论：只要代入  $s=j\omega$ ，就可以由拉普拉斯变换求出傅里叶变换， $h(t)$ 对应的系统函数统称为因果稳定系统。



## 2、拉氏变换收敛域不包含 $j\omega$ 轴(虚轴) $\sigma_0 > 0$

若 $\sigma_0 > 0$ ，则 $H(s)$ 的收敛域也不包含 $j\omega$ 轴，收敛域的边界在右半平面内。因此，不能得到 $H(\omega)$ 。例如， $h(t) = e^{2t}\varepsilon(t)$ ， $H(s) = \frac{1}{s-2}$ ， $H(s)$ 的收敛域为 $\text{Re}[s] > 2$ ， $f(t)$ 的傅里叶变换不存在。

### 3、拉氏变换收敛域以虚轴为界 $\sigma_0=0$

若收敛坐标  $\sigma_0=0$ ， $H(s)$  的收敛域为  $\text{Re}[s] > 0$ ， $H(s)$  的收敛域不包含  $j\omega$  轴，故  $H(s)$  在  $j\omega$  轴上不收敛。若令  $s=j\omega$ ，则  $H(s)$  不等于  $H(\omega)$ 。

a) 若虚轴上的极点为  $m$  个一阶极点  $j\beta_i (i=1, 2, \dots, m)$ 。将  $H(s)$  展开为部分分式，表示为

$$H(s) = H_N(s) + \sum_{i=1}^m \frac{K_i}{s - j\beta_i}$$

式中， $H_N(s)$  表示左半平面极点对应的分式。令  $H_N(s)$  的原函数为  $h_N(t)$ ，则  $H(s)$  的原函数为



$$h(t) = L^{-1}[H(s)] = h_N(t) + \sum_{i=1}^m K_i e^{j\beta_i t} \varepsilon(t) = h_N(t) + h_M(t)$$

$$h_M(t) = \sum_{i=1}^m K_i e^{j\beta_i t} \varepsilon(t)$$

注意：  $e^{j\beta_i t} \varepsilon(t)$  与  $e^{\alpha t} \varepsilon(t)$  的傅里叶变换不同

$$F[e^{-\alpha t} \varepsilon(t)] = \frac{1}{j\omega + \alpha}$$

$h(t)$  的傅里叶变换为

$$F[e^{j\beta_i t} \varepsilon(t)] = \pi\delta(\omega - \beta_i) + \frac{1}{j\omega - j\beta_i}$$

$$H(j\omega) = F[h(t)] = F[h_N(t)] + F[h_M(t)]$$

由于  $h_N(t)$  是  $H_N(s)$  的原函数，并且  $H_N(s)$  的极点在左半面，故

$$F[h_N(t)] = H_N(s) \Big|_{s=j\omega}$$

根据傅里叶变换的**线性性质**和**频移性质**，并且由于 $\varepsilon(t)$ 的傅里叶变换为  $\pi\delta(\omega) + \frac{1}{j\omega}$ ，因此得  $h_M(t) = \sum_{i=1}^m K_i e^{j\beta_i t} \varepsilon(t)$

$$F[h_M(t)] = \sum_{i=1}^m K_i \left[ \pi\delta(\omega - \beta_i) + \frac{1}{j\omega - j\beta_i} \right]$$

$$H(s) = H_N(s) + \sum_{i=1}^m \frac{K_i}{s - j\beta_i}$$

$$H(\omega) = H_N(s) \Big|_{s=j\omega} + \sum_{i=1}^m K_i \left[ \pi\delta(\omega - \beta_i) + \frac{1}{j\omega - j\beta_i} \right]$$

$$= H_N(s) \Big|_{s=j\omega} + \sum_{i=1}^m \frac{K_i}{j\omega - j\beta_i} + \sum_{i=1}^m K_i \pi\delta(\omega - \beta_i)$$

$$H(\omega) = H(s) \Big|_{s=j\omega} + \pi \sum_{i=1}^m K_i \delta(\omega - \beta_i)$$

b) 若虚轴上具有m阶极点  $i\beta$ :

$$H(s) = H_a(s) + \frac{k_{1m}}{(s-i\beta)^m} + \cdots + \frac{k_{12}}{(s-i\beta)^2} + \frac{k_{11}}{(s-i\beta)}$$

拉氏逆变换:

$$h(t) = h_a(t)u(t) + \frac{k_{1m}t^{m-1}}{(m-1)!}e^{i\beta t}u(t) + \cdots + k_{12}te^{i\beta t}u(t) + k_{11}e^{i\beta t}u(t)$$

傅里叶变换:

$$\begin{aligned} H(\omega) &= H_a(\omega) + \frac{k_{1m}\pi i^{m-1}}{(m-1)!} \delta^{(m-1)}(\omega - \beta) + \frac{k_{1m}}{(i\omega - i\beta)^m} \\ &+ \dots \\ &+ \frac{k_{12}\pi i}{1!} \delta'(\omega - \beta) + \frac{k_{12}}{(i\omega - i\beta)^2} \\ &+ k_{11}\pi \delta(\omega - \beta) + \frac{k_{11}}{(i\omega - i\beta)} \\ &= H(s)\Big|_{s=i\omega} + \frac{k_{1m}\pi i^{m-1}}{(m-1)!} \delta^{(m-1)}(\omega - \beta) + \dots + \frac{k_{12}\pi i}{1!} \delta'(\omega - \beta) + k_{11}\pi \delta(\omega - \beta) \end{aligned}$$

不作要求

$$H(\omega) = H(s)\Big|_{s=i\omega} + \pi \sum_{n=1}^N \sum_{l=1}^{m_n} \frac{K_n i^{m_n-l}}{(m_n-l)!} \delta^{(m_n-l)}(\omega - \beta_n)$$

$m_n$ 表示第 $n$ 个极点的阶数,  $m_n=1$ 且 $N=m$ 时, 即

$$H(\omega) = H(s)\Big|_{s=j\omega} + \pi \sum_{i=1}^m K_i \delta(\omega - \beta_i)$$

只有因果信号才能从单边拉氏变换用上述方法求傅式变换

例 已知 $f(t)=(1-e^{-t})\varepsilon(t)$ 的单边拉氏变换为

$$F(s) = \frac{1}{s(s+1)} \quad \text{Re}[s] > 0$$

求  $f(t)$  傅里叶变换

$$H(s) = H_N(s) + \sum_{i=1}^m \frac{K_i}{s - j\beta_i}$$

$$H(\omega) = H(s)\Big|_{s=j\omega} + \pi \sum_{i=1}^m K_i \delta(\omega - \beta_i)$$

解:  $F(s) = \frac{1}{s} - \frac{1}{s+1} \quad K_1 = 1; \beta_1 = 0$

$$F(\omega) = F(s)\Big|_{s=j\omega} + \pi\delta(\omega) = \frac{1}{j\omega} - \frac{1}{j\omega+1} + \pi\delta(\omega)$$

$$= \left[ \pi\delta(\omega) + \frac{1}{j\omega} \right] - \frac{1}{j\omega+1}$$



例 4-22 已知  $\mathcal{L}[u(t)] \leftrightarrow \frac{1}{s} (\sigma > 0)$ ,  $\mathcal{L}[\sin \omega_0 t u(t)] \leftrightarrow \frac{\omega_0}{s^2 + \omega_0^2} (\sigma > 0)$ 。求

①  $\mathcal{F}[u(t)]$ ; ②  $\mathcal{F}[\sin \omega_0 t u(t)]$ 。

解: ①  $K_1 = 1; \beta_1 = 0$

$$\mathcal{F}[u(t)] = \frac{1}{s} \Big|_{s=j\omega} + \pi \delta(\omega) = \pi \delta(\omega) + \frac{1}{j\omega}$$

$$\textcircled{2} \text{ 由 } \mathcal{L}[\sin \omega_0 t u(t)] \leftrightarrow \frac{\omega_0}{s^2 + \omega_0^2} = \frac{\omega_0}{(s + j\omega_0)(s - j\omega_0)} = \frac{\frac{j}{2}}{s + j\omega_0} + \frac{\frac{-j}{2}}{s - j\omega_0}$$

$$K_1 = \frac{j}{2}, \beta_1 = -\omega_0, K_2 = -\frac{j}{2}, \beta_2 = \omega_0,$$

$$\begin{aligned} & \cos \omega_0 u(t) \\ & \leftrightarrow \frac{j\omega}{\omega_0^2 - \omega^2} + \frac{\pi}{2} [\delta(\omega + \omega_0) + \delta(\omega - \omega_0)] \end{aligned}$$

$$\mathcal{F}[\sin \omega_0 t u(t)] = \frac{\omega_0}{s^2 + \omega_0^2} \Big|_{s=j\omega} + \pi \frac{j}{2} [\delta(\omega + \omega_0) - \delta(\omega - \omega_0)]$$

$$= \frac{\omega_0}{\omega_0^2 - \omega^2} + \frac{j\pi}{2} [\delta(\omega + \omega_0) - \delta(\omega - \omega_0)]$$

$\cos \omega_0 u(t) ?$

思考：某线性时不变系统的系统函数 $H(j\omega) = \frac{2}{(j\omega + 2)(j\omega + 3)}$

，则该系统的单位冲激响应 $h(t)$ 为 $h(t) = 2[e^{-2t} - e^{-3t}]\varepsilon(t)$ 。

## 4.6.2 $H(s)$ 的零极点与频率特性



p17~24讨论学习:

由系统函数判断系统频率特性的方法

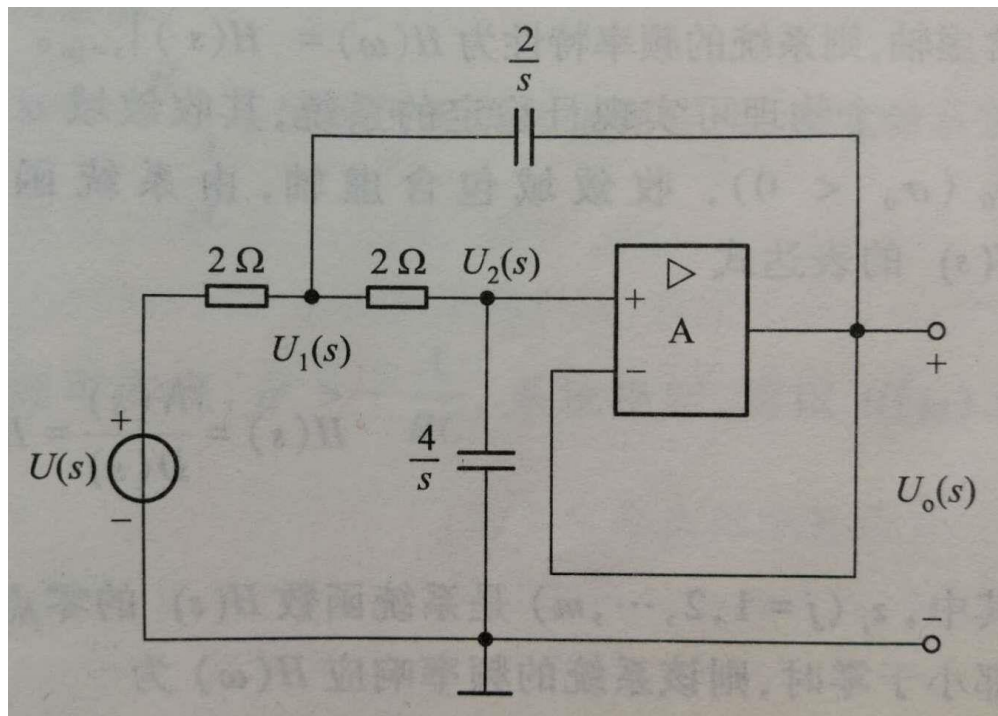
若 $H(s)$ 的极点均位于 $s$ 左半平面,令 $s=j\omega$ ,也就是在 $s$ 平面上令 $s$ 沿虚轴变化,则有 $H(s)|_{s=j\omega}=H(j\omega)$ ,即为系统的频响特性。根据 $H(s)$ 在 $s$ 平面的零、极点分布情况可以绘制出频响特性曲线,包括幅频特性 $|H(j\omega)|$ 曲线和相频特性 $\varphi(\omega)$ 曲线。

### 1.直接作图法

### 例4-23 教材p243

$$H(s) = \frac{1}{s^2 + 2s + 2}$$

$$p_{1,2} = -1 \pm j$$

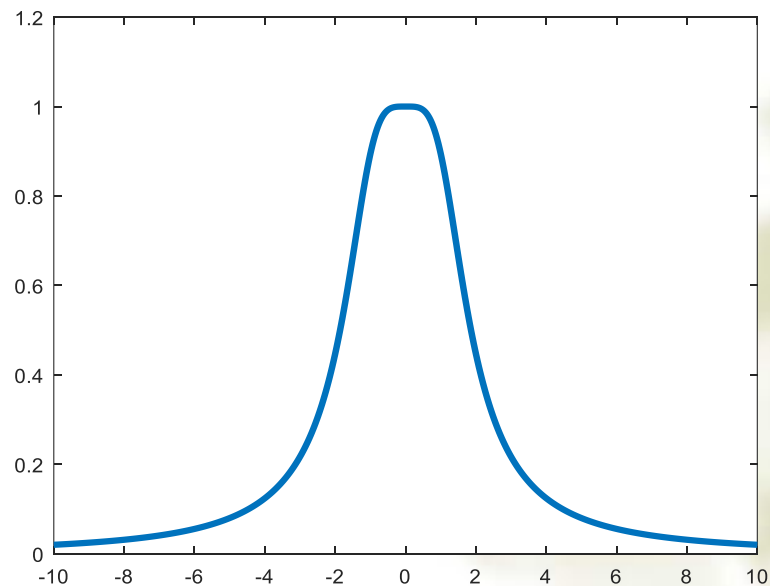


因为是实际系统（物理可实现），因而是因果系统，收敛域包含虚轴，系统稳定。所以：

$$H(\omega) = \frac{1}{(j\omega)^2 + 2j\omega + 2} = \frac{1}{j\omega + 1 - \frac{\omega^2}{2}}$$

$$|H(\omega)| = \frac{1}{\sqrt{\omega^2 + \left(1 - \frac{\omega^2}{2}\right)^2}}$$

取几个点，确定幅频特性走势



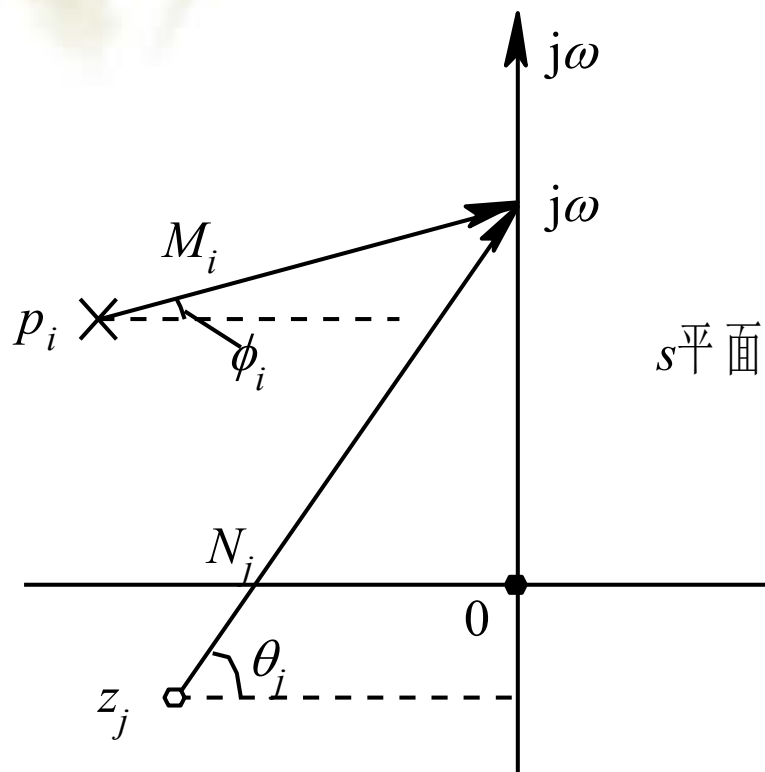
## 2. 几何作图法

系统函数 $H(s)$ 的表示式为:

$$H(s) = H_0 \frac{\prod_{j=1}^m (s - z_j)}{\prod_{i=1}^n (s - p_i)}$$

当极点 $p_i$ 的实部小于零:

$$H(j\omega) = H_0 \frac{\prod_{j=1}^m (j\omega - z_j)}{\prod_{i=1}^n (j\omega - p_i)}$$



由零点 $z_j$ 和极点 $p_i$ 与虚轴上某点 $j\omega$ 连接构成的零点矢量 $j\omega - z_j$ 和极点矢量 $j\omega - p_i$ 。图中 $N_j$ 、 $M_i$ 分别表示矢量的模, $\theta_j$ 、 $\phi_i$ 分别表示矢量的相角。



$$j\omega - z_j = N_j e^{j\theta_j}$$

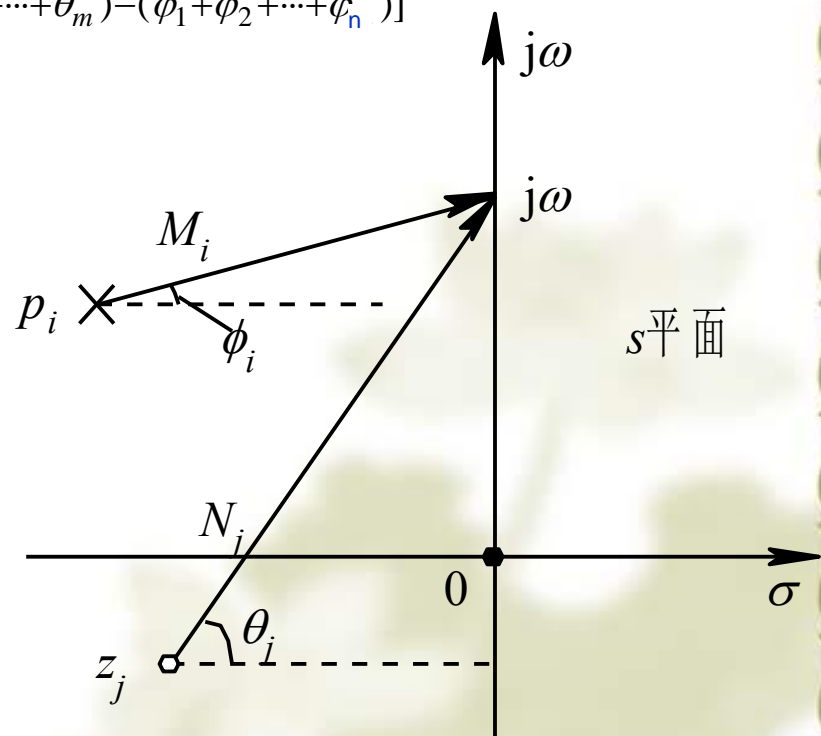
$$j\omega - p_i = M_i e^{j\phi_i}$$

$$H(j\omega) = \frac{H_0 N_0 N_1 \cdots N_m}{M_0 M_1 \cdots M_n} e^{j[(\theta_1 + \theta_2 + \cdots + \theta_m) - (\phi_1 + \phi_2 + \cdots + \phi_n)]}$$

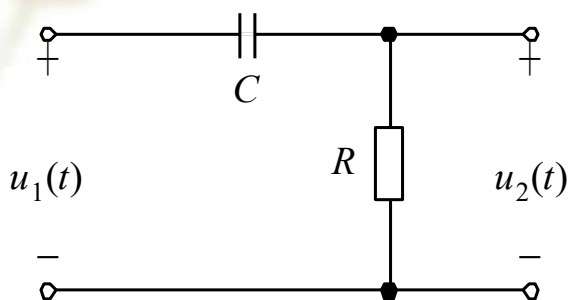
$$= |H(j\omega)| e^{j\phi(\omega)}$$

$$|H(j\omega)| = H_0 \frac{\prod_{j=1}^m N_j}{\prod_{i=1}^n M_i}$$

$$\phi(\omega) = \sum_{j=1}^m \theta_j - \sum_{i=1}^n \phi_i$$



**例4-24 (类似) : RC高通滤波器如图所示,试分析其频响特性。**



**解： RC高通滤波器的系统函数为**

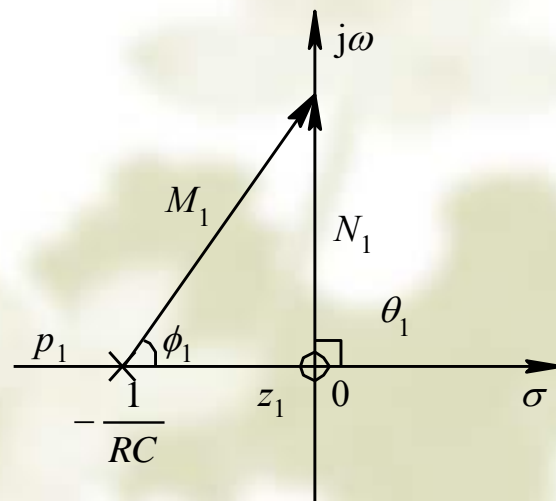
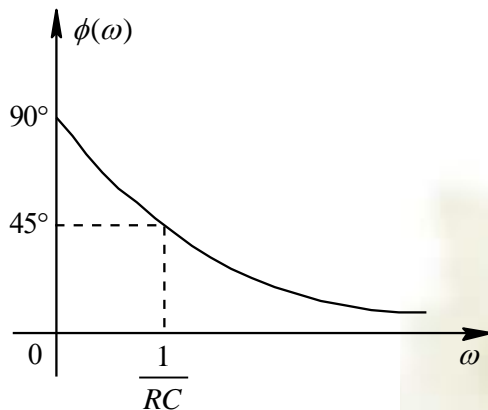
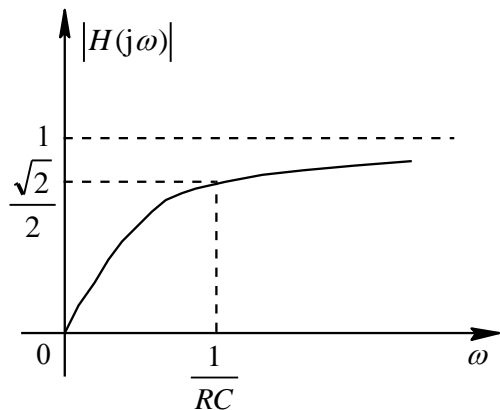
$$H(s) = \frac{U_2(s)}{U_1(s)} = \frac{R}{R + \frac{1}{sC}} = \frac{s}{s + \frac{1}{RC}}$$

$$H(j\omega) = H(s) \Big|_{s=j\omega} = \frac{j\omega}{j\omega + \frac{1}{RC}}$$

零点矢量为  $j\omega - z_1 = N_1 e^{j\theta_1}$  , 极点矢量为  $j\omega - p_1 = M_1 e^{j\varphi_1}$  , 于是

$$H(j\omega) = \frac{N_1}{M_1} e^{j(\theta_1 - \varphi_1)} = |H(j\omega)| e^{j\varphi(\omega)}$$

$$|H(j\omega)| = \frac{N_1}{M_1}, \quad \varphi(\omega) = \theta_1 - \varphi_1$$



**RC高通滤波器的频响特性**

## 总结：由 $H(s)$ 的零极点图确定系统幅频特性的原则：

(i) 在低频段主要考虑靠近虚轴的零点与极点的  $M$ 、 $N$  随  $\omega$  的变化, 远离虚轴的极点、零点可视其  $M$ 、 $N$  为常数。

(ii) 若虚轴上有零点, 当  $\omega$  等于零点时,  $|H(\omega)| = 0$ ; 若虚轴上有极点, 当  $\omega$  等于极点时,  $|H(\omega)| \rightarrow \infty$ 。

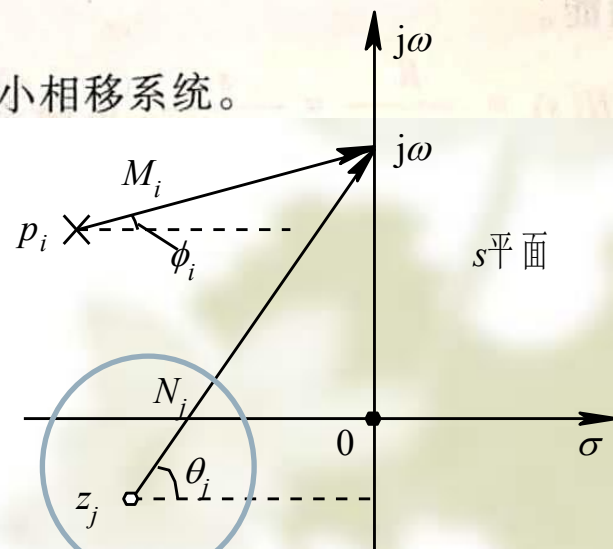
(iii)  $\omega \rightarrow \infty$  时,  $N$ 、 $M$  值都可认为是  $\infty$ , 可以对零极点进行相消处理。所以当系统的零点个数等于极点个数时,  $\omega \rightarrow \infty$ ,  $|H(\omega)| \rightarrow$  常数, 系统将呈现高通或带阻滤波特性; 当系统的零点个数少于极点个数时,  $\omega \rightarrow \infty$ ,  $|H(\omega)| \rightarrow 0$ , 系统将呈现低通或带通滤波特性。

如  $N_1, N_2, \dots, N_m$  与  $M_1, M_2, \dots, M_m$  值对应相等, 即  $H(s)$  的零点与极点以虚轴对称分布时,  $|H(\omega)|$  等于常数, 系统将呈现为全通滤波特性。

零点全部都在左半  $s$  平面或虚轴上的系统, 称为最小相移系统。

**思考：为什么说例4-15**

**类型的电路为全通网络?**



这个夹角小于零点在右半平面的夹角

下列因果系统函数表达式中，是稳定全通系统 $H(s)$ 的是（  ）

$$\text{A. } H(s) = \frac{(s+1)(s+e^{j\frac{3\pi}{4}})(s+e^{-j\frac{3\pi}{4}})}{(s-1)(s+e^{j\frac{\pi}{4}})(s+e^{-j\frac{\pi}{4}})}$$

$$\text{B. } H(s) = \frac{(s-1)(s+e^{j\frac{3\pi}{4}})(s+e^{-j\frac{3\pi}{4}})}{(s+1)(s+e^{j\frac{\pi}{4}})(s+e^{-j\frac{\pi}{4}})}$$

$$\text{C. } H(s) = \frac{(s-1)(s+e^{j\frac{\pi}{4}})(s+e^{-j\frac{\pi}{4}})}{(s+1)(s+e^{j\frac{3\pi}{4}})(s+e^{-j\frac{3\pi}{4}})}$$

$$\text{D. } H(s) = \frac{(s-1)(s+e^{j\frac{\pi}{4}})(s+e^{j\frac{3\pi}{4}})}{(s+1)(s+e^{-j\frac{\pi}{4}})(s+e^{-j\frac{3\pi}{4}})}$$

注意：几个表达式的极点分别是多少？

完成实验七

## 第四章作业

4.1

1

2

3

4 (1) (4)

4.3

5 (2) (3) (5)

6 (2)

7

8

9

10

4.4

11 (2) (4)

12 (2) (4)

4.5

13

15 (a) (c)

16

20

22

23

24

25

26

27

28

29

30

31

32

33

4.6

36

39